

10. Алексейчук А.Н., Ковальчук Л.В., Скрынник Е.В., Шевцов А.С. Оценки практической стойкости блочного шифра “Калина” относительно методов разностного, линейного криптоанализа и алгебраических атак, основанных на гомоморфизмах // Прикладная радиоэлектроника. – 2008. – Т. 7. – № 3. – С. 203 – 209.
11. Шевцов А.С. Оцінки ймовірностей узагальнених лінійних апроксимацій раундової функції ГОСТ-подібного блокового шифру // Правове, нормативне та метрологічне забезпечення системи захисту інформації в Україні. – Вип. 2(15). – Київ, 2007. – С. 76 – 81.
12. Олексійчук А.М., Шевцов А.С. Аналітична оцінка ймовірності білінійної апроксимації композиції перетворень заміни та зсуву за модулем 2^m // Вісник ДУКТ. – 2008. – № 1. – С. 5 – 11.
13. Алексейчук А.Н., Ковальчук Л.В., Скрынник Л.В., Шевцов А.С. Оценки практической стойкости блочного шифра “Калина” относительно разностного, линейного и билинейного методов криптоанализа // Материалы Четвертой международной конференции по проблемам безопасности и противодействию терроризму. МГУ им. М.В. Ломоносова. 30 – 31 октября 2008 г. Том. 2. Материалы Седьмой общероссийской научной конференции “Математика и безопасность информационных технологий” (МаБИТ-2008). – М.: МЦНМО, 2009. – С. 15 – 20.
14. Алексейчук А.Н., Шевцов А.С. Верхние оценки несбалансированности билинейных аппроксимаций раундовых функций блочных шифров // Кибернетика и системный анализ. – 2010. – № 3 (в печати).
15. ГОСТ 28147-89. Системы обработки информации. Защита криптографическая. Алгоритм криптографического преобразования. – М.: Госстандарт СССР, 1989.
16. Горбенко І.Д., Долгов В.І., Олійников Р.В., Руженцев В.І., Михайленко М.С., Горбенко Ю.І., Тоцький О.С., Казьміна С.В. Перспективний блоковий симетричний шифр “Калина” – основні положення та специфікації // Прикладная радиоэлектроника. – 2007. – Т. 6. – № 2. – С. 195 – 208.
17. Шевцов А.С. Оцінки ймовірностей узагальнених лінійних апроксимацій раундової функції ГОСТ-подібного блокового шифру // Правове, нормативне та метрологічне забезпечення системи захисту інформації в Україні. – Вип. 2(15). – Київ, 2007. – С. 76 – 81.
18. Растовцев А.Г., Маховенко Е.Б. Введение в теорию итерированных шифров. – Спб.: НПО "Мир и Семья", 2003. – 302 с.

Получены верхние оценки параметров, характеризующих способность раундовых функций шифров ГОСТ 28147-89 и “Калина” противостоять билинейному методу криптоанализа. Результаты проведенных исследований свидетельствуют в пользу предположения о практической стойкости указанных шифров к известным в настоящее время билинейным атакам.

Ключевые слова: криптоанализ, билинейный метод, шифры, противостояние криптоанализу.

Отримані верхні оцінки параметрів, що характеризують здатність раундових функцій шифрів ГОСТ 28147-89 та “Калина” протистояти білінійному методу криптоаналізу. Результати проведених досліджень свідчать на користь припущення про практичну стійкість вказаних шифрів відносно відомих в наступний час білінійних атак.

Ключові слова: криптоаналіз, білінійний метод, шифри, протистояння криптоаналізу.

In the article upper bounds of parameters that define the capability of round functions of State Standard 28147-89 and “Kalyna” ciphers to resist a bilinear method of cryptanalysis.

Key words: cryptanalysis, bilinear method, ciphers, resistance to cryptanalysis.

Поступила 11.01.2010

УДК 681.3.07

д.т.н., проф. Белецкий А.Я., Аксентий Е.А.
(Национальный авиационный университет)

ПРОГРАММНЫЙ КОМПЛЕКС ДЛЯ ИССЛЕДОВАНИЯ СТАТИСТИЧЕСКИХ ХАРАКТЕРИСТИК КРИПТОГРАФИЧЕСКИХ ПРИМИТИВОВ ТИПА НЕЛИНЕЙНОЙ ПОДСТАНОВКИ

Введение и постановка задачи

Современные методы защиты информации (*шифрование*) в компьютерных сетях представляют собой математические преобразования (алгоритмы), в которых сообщения рассматриваются как числа или алгебраические элементы в некотором пространстве [1]. С позиций теории сигналов и процессов *зашифрование* исходного (коррелированного,

избыточного, сжимаемого) текста состоит в его «отбеливании», т.е. обращении в некоррелированную последовательность символов (элементов) шифрограммы (практически несжимаемой) с плотностью распределения вероятностей элементов выходного алфавита максимально близкой к равномерной.

Криптостойкие системы могут быть построены путем многократного применения относительно простых криптографических преобразований (примитивов), в качестве которых К.Шенон предложил [2] использовать подстановки (Substitution) и перестановки (Permutation). Схемы, реализующие эти преобразования, называются *SP-сетями*. Часто используемыми криптографическими примитивами являются также преобразования типа циклический сдвиг (круговая прокрутка блоков), гаммирование и ряд других.

Типовая схема нелинейной подстановки (замены) байтов (используемая, в частности, в принятом в качестве международного стандарта шифрования *AES – Advanced Encryption Standard* [1]) построена из композиции таких двух преобразований данных, выполняемых независимо с каждым шифруемым байтом x :

- 1) получение обратного элемента x^{-1} относительно умножения в поле $GF(2^8)$, нулевой элемент '00' переходит сам в себя;
- 2) применением аффинного преобразования над $GF(2)$, определяемого следующим образом:

$$y = x^{-1} \otimes A \oplus \beta, \quad (1)$$

где матрица

$$A = \begin{bmatrix} 1 & 0 & 0 & 0 & 1 & 1 & 1 & 1 \\ 1 & 1 & 0 & 0 & 0 & 1 & 1 & 1 \\ 1 & 1 & 1 & 0 & 0 & 0 & 1 & 1 \\ 1 & 1 & 1 & 1 & 0 & 0 & 0 & 1 \\ 1 & 1 & 1 & 1 & 1 & 0 & 0 & 0 \\ 0 & 1 & 1 & 1 & 1 & 1 & 0 & 0 \\ 0 & 0 & 1 & 1 & 1 & 1 & 1 & 0 \\ 0 & 0 & 0 & 1 & 1 & 1 & 1 & 1 \end{bmatrix},$$

и аддитивный вектор

$$\beta = 11000110.$$

Следует отметить, что нелинейность преобразования (1) обеспечивается исключительно нелинейностью инверсии x^{-1} над полиномом $\varphi(x)$, в качестве которого в *AES* выбран полином

$$\varphi(x) = x^8 + x^4 + x^3 + x + 1,$$

являющийся *неприводимым полиномом* (многочленом) показателя 51.

В данной работе ставится задача разработки универсального программного стенда, обеспечивающего возможность оценки статистических свойств обобщенного криптографического примитива нелинейной подстановки:

$$y = (x \oplus \alpha)_{\varphi}^{-1} \otimes A \oplus \beta, \quad (2)$$

в котором аддитивные компоненты α и β , а также невырожденная по mod 2 квадратная (0, 1)-матрица A и неприводимый полином φ , являются вариативными параметрами преобразования (2). Значения всех параметров преобразования, а именно, размеры векторов, порядок матрицы и степень неприводимого полинома (НП) выбраны равными восьми.

Базовый интерфейс программного комплекса. Интерфейс базового моделирующего комплекса изображен на рис. 1.

Система окон, показанных на рис.1, позволяет параметризовать характеристики неприводимого полинома φ и образующего элемента ω поля $GF(2^8)$ над выбранным НП, аддитивных составляющих α и β соотношения (2), а также матрицы преобразования, которая обозначена как матрица G . Резидентно в качестве матрицы G в программу ведена единичная матрица восьмого порядка. Окна < СКГ > и < из файла > дают возможность ввести в квадрат G матрицу, отвечающую произвольному составному коду Грея (СКГ) [3], или заполнить этот квадрат, считывая его из заранее подготовленного файла. В последнем случае следует предварительно нажать на кнопку активации, стоящую справа от окошка. Интерфейс допускает возможность полного или частичного ввода матрицы G в ручном режиме. Частичный режим ручного ввода означает корректировку элементов матрицы, ранее введенной из окон < СКГ > или < из файла >. Естественно, что при этом следует проверить матрицу на невырожденность. Такая проверка осуществляется нажатием на кнопку ПУСК. Если матрица невырождена, то в окошке «невырожденность» появляется знак +, в противном случае –.

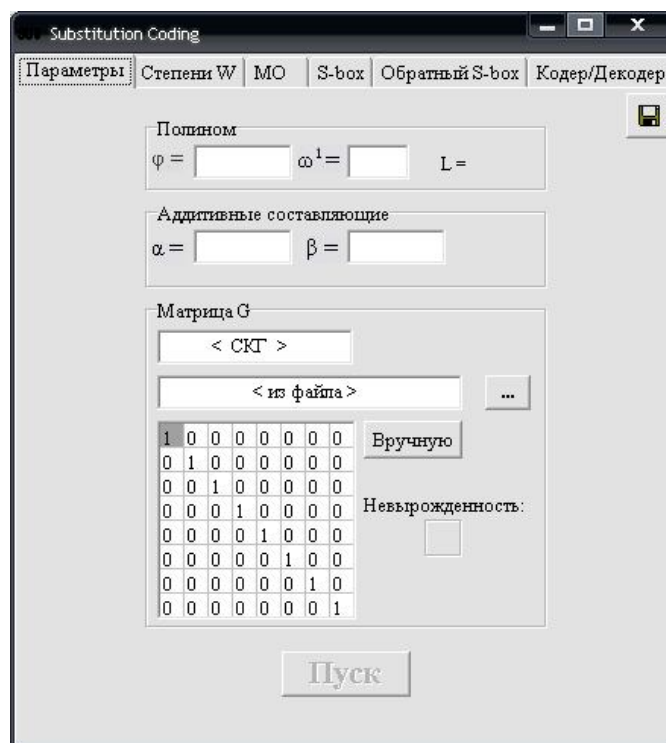


Рис.1. Базовый интерфейс моделирующего комплекса

После ввода значений φ и ω можно, нажав кнопку ПУСК, вычислить порядок L образующего элемента ω . Порядком образующего элемента ω называют то минимальное (но не равное нулю) значение L , которое обращает $\omega^L \bmod \varphi$ в единицу. Если окно ω оставить пустым, то программа вычислит и выведет значение минимального примитивного образующего элемента ω , порядок которого составляет величину $L = 255$.

В табл. 1 сведены показатели ряда образующих элементов для всех 30-ти неприводимых полиномов восьмой степени.

Как следует из табл. 1, только 16 из 30-ти НП восьмой степени являются примитивными, т.е. такими, для которых образующий элемент 10 обладает максимальным порядком, равным 255. Минимальный примитивный образующий элемент 255-го порядка 14-го неприводимого многочлена 101111011 равен 1001.

Выберем параметры преобразования (2) такими, которые указаны в окнах интерфейса на рис. 2.

Таким образом, согласно рис. 2, для последующих пояснений процесса преобразований по алгоритму (2) нами выбран пятый НП из табл. 1, которому отвечает примитивный образующий полином $\omega = 11$. В качестве матрицы преобразования A остановимся на матрице, соответствующей СКГ $G = 13$.

Таблица 1. Порядок образующих элементов двоичных неприводимых многочленов восьмой степени

Номер полинома	Неприводимый полином	Образующий элемент					
		10	11	100	101	110	111
1	100011011	51	255	51	255	255	85
2	100011101	255	51	255	51	255	85
3	100101011	255	85	255	85	255	255
4	100101101	255	17	255	17	255	255
5	100111001	17	255	17	255	255	255
6	100111111	85	255	85	255	255	255
7	101001101	255	255	255	255	85	255
8	101011111	255	255	255	255	85	255
9	101100011	255	255	255	255	85	85
10	101100101	255	255	255	255	85	85
11	101101001	255	255	255	255	15	5
12	101110001	255	85	255	85	255	255
13	101110111	85	255	85	255	255	255
14-1001	101111011	85	85	85	85	5	15
15	110000111	255	85	255	85	51	255
16	110001011	85	51	85	51	255	17
17	110001101	255	255	255	255	17	255
18	110011111	51	255	51	255	255	51
19	110100011	85	85	85	255	255	85
20	110101001	255	255	255	255	255	255
21	110110001	51	85	51	85	255	255
22	110111101	85	17	85	17	85	255
23	111000011	255	255	255	255	255	255
24	111001111	255	85	255	85	255	85
25	111010111	17	85	17	85	85	255
26	111011101	85	51	85	51	255	255
27	111100111	255	51	255	51	255	51
28	111110011	51	85	51	85	255	17
29	111110101	255	255	255	255	17	255
30	111111001	85	255	85	255	51	255

Степени примитивного образующего элемента. Полное множество ненулевых элементов поля $GF(2^n)$ над неприводимым полиномом φ может быть представлено в виде степеней ω^k примитивного элемента ω , вычисляемых по $\text{mod } \varphi$. Это означает, в частности, что ненулевые компоненты $GF(2^n)$ образуют циклическую абелеву группу относительно операции умножения.

Пусть $L = 2^n - 1$. Тогда имеет место соотношение

$$\omega^L \text{ mod } \varphi \equiv 1. \tag{3}$$

Рассмотрим методику вычисления степеней образующего элемента $\omega = 11$ по заданному модулю неприводимого многочлена $\varphi = 100111001$. Имеем $\omega^0 = 1$, $\omega^1 = 11$.

Последующие k -е степени, $k \geq 2$, элемента ω будем формировать по правилу

$$\omega^k = \omega^{k-1} \cdot \omega^1. \quad (4)$$

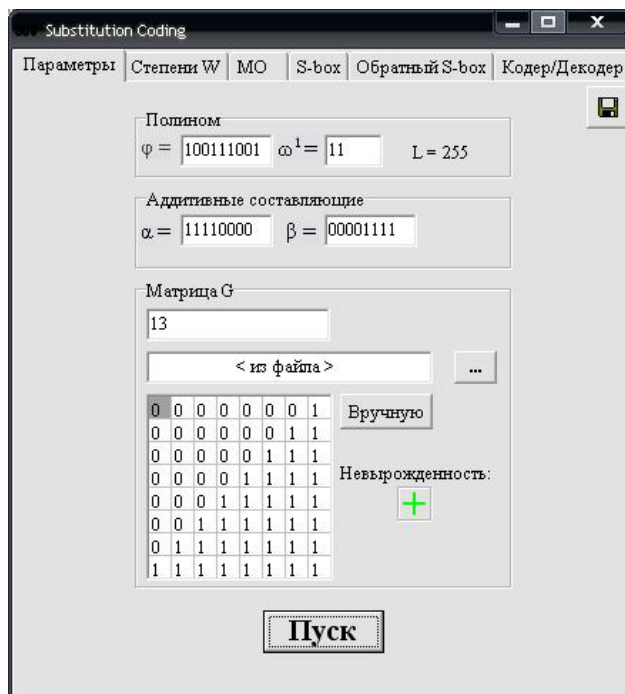


Рис. 2. Параметризация нелинейной подстановки (2)

Вычисления в соотношении (4) для $\omega = 11$ сводятся к поразрядному сложению по mod 2 многочлена ω^{k-1} и его копии, сдвинутой на один разряд влево. Следуя данному алгоритму, получим

$$\begin{aligned} \omega^2 &= 101, \\ \omega^3 &= 1111, \\ \omega^4 &= 10001, \\ \omega^5 &= 110011, \\ \omega^6 &= 1010101, \\ \omega^7 &= 11111111. \end{aligned}$$

Восьмая степень (ω^8) примитивного образующего элемента $\omega = 11$, равная 100000001, оказывается девятиразрядной и, следовательно, должна быть приведена к остатку по модулю φ . В двоичной модулярной арифметике операция поразрядного вычитания, которая появляется на этапе вычисления остатков, эквивалентна операции поразрядного сложения. Таким образом,

$$\begin{aligned} (\omega^8) \bmod \varphi &= (\omega^8) \oplus \varphi = 100000001 \\ &\oplus \\ &\underline{100111001} \\ &111000 = \omega^8. \end{aligned} \quad (5)$$

Продолжая вычисления (2) степеней элемента ω по модулю выбранного НП φ , приходим (определяя, в случае необходимости, остатки по формуле (5)) к результатам, которые представлены на рис. 3.

Параметры	Степени W				МО	S-box				Обратный S-box				Кодер/Декодер			
	0	1	2	3	4	5	6	7	8	9	A	B	C	D	E	F	
0	01	03	05	0F	11	33	55	FF	38	48	D8	51	F3	2C	74	9C	
1	9D	9E	9B	94	85	B6	E3	1C	24	6C	B4	E5	16	3A	4E	D2	
2	4F	D1	4A	DE	5B	ED	0E	12	36	5A	EE	0B	1D	27	69	BB	
3	F4	25	6F	B1	EA	07	09	1B	2D	77	99	92	8F	A8	C1	7A	
4	8E	AB	C4	75	9F	98	91	8A	A7	D0	49	DB	54	FC	3D	47	
5	C9	62	A6	D3	4C	D4	45	CF	68	B8	F1	2A	7E	82	BF	F8	
6	31	53	F5	26	6A	BE	FB	34	5C	E4	15	3F	41	C3	7C	84	
7	B5	E6	13	35	5F	E1	1A	2E	72	96	83	BC	FD	3E	42	C6	
8	73	95	86	B3	EC	0D	17	39	4B	DD	5E	E2	1F	21	63	A5	
9	D6	43	C5	76	9A	97	80	B9	F2	2F	71	93	8C	AD	CE	6B	
A	BD	FE	3B	4D	D7	40	C0	79	8B	A4	D5	46	CA	67	A9	C2	
B	7F	81	BA	F7	20	60	A0	D9	52	F6	23	65	AF	C8	61	A3	
C	DC	5D	E7	10	30	50	F0	29	7B	8D	AE	CB	64	AC	CD	6E	
D	B2	EF	08	18	28	78	88	A1	DA	57	F9	32	56	FA	37	59	
E	EB	04	0C	14	3C	44	CC	6D	B7	E0	19	2B	7D	87	B0	E9	
F	02	06	0A	1E	22	66	AA	C7	70	90	89	A2	DF	58	E8	01	

Рис. 3. Таблица степеней $\omega = 11$ по $\text{mod } \varphi = 100111001$

Таблица, показанная на рис. 3, выводится на экран монитора при нажатии на клавишу СТЕПЕНИ W. Степени k полинома ω (восьмиразрядные двоичные числа) представляются конкатенацией двух 16-ричных чисел k_1 и k_2 , т.е. $k = k_2 \circ k_1$, где \circ – знак конкатенации. Роль осей координат таблицы выполняют ее затененные верхняя строка и левый столбец. На оси абсцисс отложены значения младших четырех двоичных разрядов k_1 , а на оси ординат – старшие разряды k_2 восьмибитных входных величин k . Компоненты k_1 и k_2 , как и отвечающие им значения $\omega^k \text{ mod } \varphi$, находящиеся на пересечении соответствующих столбцов и строк таблицы, представлены в 16-ричной системе счисления.

Мультипликативно обратные элементы поля $GF(2^8)$. Соотношение (3) приводит нас к достаточно простому алгоритму вычисления мультипликативно обратных (МО или просто – обратных или инверсных) величин (рис. 4). В самом деле, согласно (3), для восьмибитных элементов, образующих поле $GF(2^8)$,

$$(\omega^k \cdot \omega^l) \text{ mod } \varphi = 1, \quad \text{если только } k + l = 255. \quad (6)$$

Следовательно, ω^k и ω^l являются МО величинами (многочленами или двоичными векторами) при соблюдении условия, приведенного в (6). Указанные свойства элементов $GF(2^n)$ позволяют достаточно просто выполнять инверсии в полях Галуа. Алгоритм определения МО элементов поля сводится к выполнению таких двух этапов. На первом этапе следует провести инверсию последовательности степеней ω , расположив инверсный столбец справа от исходного столбца. Тогда в строках столбцов k -й степени элемента ω левого столбца будет отвечать l -я степень элемента ω правого столбца; при этом выполняются условия (6), т.е. соседние элементы становятся инверсными. На втором этапе

необходимо ранжировать векторы первого столбца, придав им естественную форму двоичной последовательности. Естественно, что синхронно с перестановками элементов первого столбца необходимо переставлять и элементы второго (инверсного) столбца.

Рис. 4. Таблица МО элементов поля $GF(2^8)$ над НП $\varphi = 100111001$

Впрочем, второй этап преобразований можно исключить, непосредственно заполняя квадратную таблицу 16-ричными МО величинами.

Таблица, изображенная на рис. 4, выводится на экран монитора при нажатии на кнопку МО базового интерфейса. Также как и в таблице степеней ω (рис. 3) роль осей координат таблицы обратных элементов (рис. 4) выполняют ее затененные верхняя строка и левый столбец. На оси абсцисс отложены значения младших четырех двоичных разрядов x_1 , а на оси ординат - старшие разряды x_2 восьмибитных входных величин $x = x_2 \circ x_1$.

Формирование S-блока и обратного S-блока. Блок нелинейной подстановки (S-box) реализует преобразование, заданное в общем случае соотношением (2). Проследим за последовательностью этапов вычисления операнда y , начиная с простейшего варианта, в котором аддитивные компоненты α и β выражения (2) равны нулю. Для такого варианта подстановки

$$y = x_{\varphi}^{-1} \otimes A, \tag{7}$$

где НП $\varphi = 100111001$, а матрица A восьмого порядка показана на рис. 2 и отвечает составному коду Грея $G = 13$.

Двухразрядные 16-ричные числа, соответствующие значениям x_{φ}^{-1} , сведены в таблицу на рис. 4. Умножим элементы этой таблицы, предварительно преобразованные в восьмибитные числа, на матрицу A . Результат преобразования (S-box), показан на рис. 5.

Substitution Coding																
Параметры	Степени W					MO	S-box				Обратный S-box				Кодер/Декодер	
	0	1	2	3	4	5	6	7	8	9	A	B	C	D	E	F
0	00	FF	2E	1A	5C	13	34	59	B8	DE	27	18	68	81	B3	AD
1	A1	79	6D	F8	4F	B1	30	4E	D0	49	D2	94	B6	10	8A	C8
2	92	8F	F3	11	DB	DD	21	1F	9F	D8	B2	C1	60	E7	9C	95
3	71	9B	93	E1	75	AF	F9	F2	BD	74	20	7E	C5	FE	41	6E
4	F5	4B	CE	2B	36	39	23	AB	66	04	6A	58	43	54	3F	EC
5	EE	78	61	5D	B5	0E	52	5F	C0	A3	1E	77	E9	FD	FA	7A
6	E3	99	E6	45	F6	AE	12	46	EB	A5	8E	F7	22	38	35	26
7	AA	56	E8	42	40	A6	FC	0A	5A	1B	2D	90	83	31	DC	BC
8	3A	D7	97	DF	4D	98	57	91	6C	88	73	A2	47	E0	86	0F
9	CC	4A	08	64	D4	7C	B0	CF	87	0C	A8	BE	7F	E5	09	C4
A	0D	48	F0	5E	C3	C9	BB	ED	BA	7B	1C	FB	A4	CA	BF	CB
B	51	3B	96	D5	3C	C6	EF	2F	02	2C	2A	76	25	15	F4	55
C	16	D3	E2	C2	1D	82	8B	17	3D	7D	8D	65	24	C7	8C	9E
D	06	B7	9A	62	CD	32	3E	67	44	B9	70	07	6B	6F	4C	A0
E	85	53	AC	05	01	28	84	19	80	D1	9D	72	29	EA	14	E4
F	B4	03	37	50	5B	D9	F1	33	D6	DA	63	A7	69	89	A9	0B

Рис. 5. Таблица S-бокса, отвечающая преобразованию (7)

Рассмотрим пример перевода элементов таблицы из рис. 4 в соответствующие элементы таблицы на рис. 5. Выберем (на рис. 4) 16-ричный элемент 1C (равный двоичному вектору 00011100), который расположен на пересечении строки B (1011) и столбца 7 (0111). Проверим сначала, действительно ли операнд $y=1C$ является обратным (по mod $\varphi = 100111001$) входному операнду $x=B7$ (равному двоичному вектору 10110111). Перемножив (в кольце вычетов по mod 2) двоичные векторы x и y , получим

$$\begin{array}{r}
 10110111 = x \\
 \otimes \\
 \quad \underline{11100} = y \\
 1011011100 \\
 \oplus 10110111 \\
 \underline{10110111} \\
 110000010100 = z
 \end{array}$$

Приведем произведение $z = x \otimes y$ к остатку по mod $\varphi = 100111001$. Имеем

$$\begin{array}{r}
 110000010100 \\
 \oplus \\
 \underline{100111001} \\
 10111011100 \\
 \oplus \\
 \underline{100111001} \\
 100111000 = w
 \end{array}$$

Векторы w и φ различаются значениями лишь в младших разрядах, а это означает что $z \bmod \varphi = 1$ и, следовательно, x и y - взаимно инверсные величины, что и требовалось подтвердить.

Перемножив, в соответствии с (7), байты x_φ^{-1} , являющиеся элементами таблицы из рис. 5, на матрицу преобразования

$$A = \begin{bmatrix} 0 & 0 & 0 & 0 & 0 & 0 & 0 & 1 \\ 0 & 0 & 0 & 0 & 0 & 0 & 1 & 1 \\ 0 & 0 & 0 & 0 & 0 & 1 & 1 & 1 \\ 0 & 0 & 0 & 0 & 1 & 1 & 1 & 1 \\ 0 & 0 & 0 & 1 & 1 & 1 & 1 & 1 \\ 0 & 0 & 1 & 1 & 1 & 1 & 1 & 1 \\ 0 & 1 & 1 & 1 & 1 & 1 & 1 & 1 \\ 1 & 1 & 1 & 1 & 1 & 1 & 1 & 1 \end{bmatrix}, \quad (8)$$

приходим к S-боксу, показанному на рис. 5.

Проиллюстрируем приведенный алгоритм вычислений на примере. Выберем элемент $x_\varphi^{-1} = 88 = 10001000$, расположенный на пересечении пятой строки и 10-го столбца (т.е. столбца A) таблицы на рис. 4. Умножение вектора 10001000 на матрицу A эквивалентно поразрядному сложению по $\bmod 2$ первой (считая сверху вниз) и пятой строк матрицы (8). Имеем

$$\begin{array}{r} 00000001 \\ \oplus \\ \underline{00011111} \\ 00011110 = 1E, \end{array}$$

что совпадает со значением соответствующего (5A) элемента таблицы на рис. 5.

А теперь, сохраняя аддитивную компоненту β в преобразовании (2) нулевой, придадим некоторое (отличное от нуля) значение компоненте α , т.е. построим S-box

$$y = (x \oplus \alpha)_\varphi^{-1} \otimes A. \quad (9)$$

Из сопоставления соотношений (7) и (9) следует, что в ячейку x (элемент таблицы) с координатами x_2 (номер строки) и x_1 (номер столбца) S-бокса на рис. 5 следует переписать содержимое ячейки $x' = x \oplus \alpha$ с координатами x'_2 и x'_1 того же S-бокса.

На рис. 6 показана таблица S-бокса (9) с компонентой $\alpha = 11110000$ такой же, которая выбрана для интерфейса, представленного на рис. 2. Вполне очевидно, что данное значение параметра α приводит к инверсии строк S-бокса (7), изображенного на рис. 5.

Переходим к обсуждению алгоритма составления S-бокса, осуществляющего преобразование по формуле (2) при условии, что компонента β отлична от нуля. Реализация алгоритма (2) достаточно проста. С этой целью необходимо все элементы S-бокса, соответствующие преобразованию (9), поразрядно просуммировать с байтом компоненты β .

Обратный S-box, используемый на этапе расшифрования (декодирования) криптограммы, также достаточно прост в реализации. В самом деле, пусть $x = x_2 \circ x_1$ есть некоторый байт, обратное значение которого (обозначим его через $y = y_2 \circ y_1$) расположено в таблице S-бокса с координатами x_2 и x_1 . В обратном S-боксе координаты таблицы образуют оси y_2 и y_1 , отвечающие строкам и столбцам таблицы соответственно. На

пересечении строки δ_2 и столбца y_1 таблицы обратного S-бокса как раз и следует поместить 16-ричное представление байта x .

Параметры	Степени W	MO	S-box	Обратный S-box	Кодер/Декодер											
	0	1	2	3	4	5	6	7	8	9	A	B	C	D	E	F
0	B4	03	37	50	5B	D9	F1	33	D6	DA	63	A7	69	89	A9	0B
1	85	53	AC	05	01	28	84	19	80	D1	9D	72	29	EA	14	E4
2	06	B7	9A	62	CD	32	3E	67	44	B9	70	07	6B	6F	4C	A0
3	16	D3	E2	C2	1D	82	8B	17	3D	7D	8D	65	24	C7	8C	9E
4	51	3B	96	D5	3C	C6	EF	2F	02	2C	2A	76	25	15	F4	55
5	0D	48	F0	5E	C3	C9	BB	ED	BA	7B	1C	FB	A4	CA	BF	CB
6	CC	4A	08	64	D4	7C	B0	CF	87	0C	A8	BE	7F	E5	09	C4
7	3A	D7	97	DF	4D	98	57	91	6C	88	73	A2	47	E0	86	0F
8	AA	56	E8	42	40	A6	FC	0A	5A	1B	2D	90	83	31	DC	BC
9	E3	99	E6	45	F6	AE	12	46	EB	A5	8E	F7	22	38	35	26
A	EE	78	61	5D	B5	0E	52	5F	C0	A3	1E	77	E9	FD	FA	7A
B	F5	4B	CE	2B	36	39	23	AB	66	04	6A	58	43	54	3F	EC
C	71	9B	93	E1	75	AF	F9	F2	BD	74	20	7E	C5	FE	41	6E
D	92	8F	F3	11	DB	DD	21	1F	9F	D8	B2	C1	60	E7	9C	95
E	A1	79	6D	F8	4F	B1	30	4E	D0	49	D2	94	B6	10	8A	C8
F	00	FF	2E	1A	5C	13	34	59	B8	DE	27	18	68	81	B3	AD

Рис. 6. Таблица S-бокса, отвечающая преобразованию (9)

Функция Кодер/Декодер. С помощью данной функции осуществляется зашифрование (кодирование) и расшифрование (декодирование) текстов с любым расширением. Под зашифрованием понимается замена (подстановка) каждого байта открытого текста байтом закрытого текста (шифrogramмы). Расшифрование является процессом, обратным зашифрованию, т.е. восстановлением открытого текста из шифrogramмы.

Качество зашифрования оценивается различными статистическими характеристиками [4]. Простейшей из них является энтропия сообщения (открытого текста или шифrogramмы) H , рассчитываемая по формуле

$$H = -\sum_{i=0}^{L-1} p_i \cdot \log_2 p_i,$$

где L – число элементов (символов) входного или выходного алфавита, а p_i – частота i -го символа в тексте.

Примем за основу построения открытого текста и шифrogramмы байт, образующий 256 двоичных символов. Множество 256 символов текста удобно отображать в виде гистограммы, преобразованной в таблицу, содержащую восемь столбцов и 32 строки. Частоту символа x_i , отвечающего индексу $i = 0$ ($x_0 = 00000000$), будем размещать в левом верхнем углу таблицы, а частоту символа, отвечающего индексу $i = 255$ ($x_{255} = 11111111$) – в правом нижнем углу таблицы. Для эксперимента был выбран русскоязычный текст объемом 208 Кбайт. Ниже в табл. 2 приведена гистограмма частот этого текста.

Таблица 2. Пример гистограммы открытого текста

	00000000
	00389000389000
	00000000
	00000000
	427203528400002
	44403513333625382
	810574253
41218419000148	
	02140011
	20003201
	30103001
	00000000
	073241014
8120095418	
	617410813
	12000000
	00000000
	00000000
	00000000
	00000000
	00000000
	00000000
	02000000
	00000000
	00000000
3266329035118931871	
203011736173288355202	
41601213525341939	
000038542157	
1193123446368304146581210514842533	
1034014244787736946089631167303877	
568280081016945247314116042573	
1354592282767341640310443307	

Энтропия входного текста, распределение частот символов которого представлено в табл. 2, составляет 4,64228. Зашифруем выбранный текст криптографическим примитивом (2) с параметрами преобразования, которые отображены на интерфейсе, показанным на рис.2. Распределение частот символов шифрограммы сведено в табл. 3.

Таблица 3. Гистограмма частот символов шифрограммы

	003120043
042720000205682	
390400452402767	
382014110529631	
110169000000	
28030009117	
	00402600
0006040001484	
465825331025380714240	
0004003550	
000730025730	
10100000	
3336202636813513003416	
201923890003	
93612100023440	
001180003264	
6010184051673038902	
8000024030	
01480426328408	
7115773692904130	
930330700000	
000020119312	
0020300041354	
3546080010440121051	
40000003877	
00173183700	
459241053000	
1044104787010340	
10100000	
8505005350	
80082880000183041	
00002137101	

Из сопоставления данных табл. 2 и 3 следует, что криптопримитив нелинейной подстановки осуществляет простую замену символов входного текста на символы выходного текста. Энтропия зашифрованного текста совпадает с энтропией исходного текста, что, впрочем, так и должно быть.

Заключение

Разработанная на языке C++ программа моделирования криптографических примитивов типа нелинейной подстановки (2) предоставляет возможность проводить статистические исследования S-боксов в широком диапазоне изменения параметров бокса. В качестве таких параметров выступают неприводимые полиномы восьмой степени φ , невырожденные $(0, 1)$ -матрицы преобразования A и аддитивные компоненты преобразования α и β . Интерфейс S-боксов достаточно прост и удобен не только для выполнения научных исследований, но и с успехом может быть использован в учебных целях.

Список литературы

1. Мао В. Современная криптография. Теория и практика. – М.: «Вильямс», 2005. – 768с.
2. Шеннон К.Е. Работы по теории информации и кибернетики. – М.: ИЛ, 1963. – 829 с.
3. Белецкий А.Я. Преобразования Грея. / Белецкий А.Я., Белецкий А.А., Белецкий Е.А. Т. 1. Основы теории. – К.: Кн. Изд-во НАУ, 2007. – 412с.
4. Random Number Generation and Testing. [http: www.csrc.nist.gov/rng/](http://www.csrc.nist.gov/rng/)

Разработан на алгоритмическом языке C++ программный продукт, обеспечивающий возможность комплексной оценки статистических характеристик обобщенных криптографических примитивов типа нелинейной подстановки (S-боксов)

Ключевые слова: программный комплекс, криптографический примитив, нелинейная подстановка

Розроблений на алгоритмічній мові C++ програмний продукт, що забезпечує можливість комплексної оцінки статистичних характеристик узагальнених криптографічних примітивів типу нелінійної підстановки (S-боксов)

Ключові слова: програмний комплекс, криптографічний примітив, нелінійна підстановка

Developed at the algorithmic language C++ software product? that provides the possibility of a comprehensive assessment of the statistical characteristics of generalized cryptographic primitives such as nonlinear substitutions (S-boxes).

Keywords: software system, cryptographic primitive, non-linear substitution.

Поступила 10.02.2010